



INTERNATIONAL ATOMIC ENERGY AGENCY
UNITED NATIONS EDUCATIONAL, SCIENTIFIC AND CULTURAL ORGANIZATION



INTERNATIONAL CENTRE FOR THEORETICAL PHYSICS
34100 TRIESTE (ITALY) - P.O. B. 586 - MIRAMARE - STRADA COSTIERA 11 - TELEPHONES: 224281/23450
CABLE: CENTRATOM - TELEX 460392-1

SMR/112 - 19

IV^e SEMINAIRE SUR L'ENERGIE SOLAIRE

(10 - 21 septembre 1984)

LES CELLULES SOLAIRES PHOTOVOLTAIQUES:
FILIERES DE RECHERCHE - NOUVELLES REALISATIONS

M. CADENE
Laboratoire d'Infrarouge
Université des Sciences et Techniques
du Languedoc
Place Eugène Bataillon
34060 Montpellier
France

Les Cellules solaires photovoltaïques:
Filieres de recherche - Nouvelles réalisations

par

M. CADENE
Groupe de Dynamique des Phases Condensées
(L.A. 233)

U. S. T. L.
Place E. Bataillon
34060 MONTPELLIER Cedex

Le premier stade de développement des photopiles a abouti à leur application spatiale pour l'alimentation en électricité des satellites à partir de l'énergie solaire. Aucune notion de coût n'intervient dans leur réalisation, seul leur rendement, pour un poids minimum, prime.

Depuis quelques années, leur utilisation se généralise dans le cadre de la production d'électricité en usage terrestre pour les zones isolées. Un marché existe déjà, il peut se développer de façon très importante si un abaissement des coûts survient dans les prochaines années.

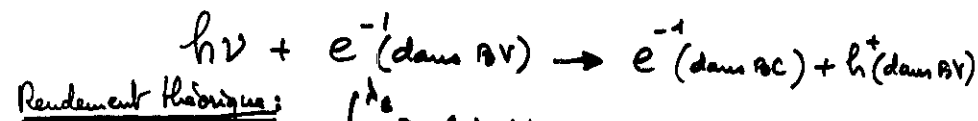
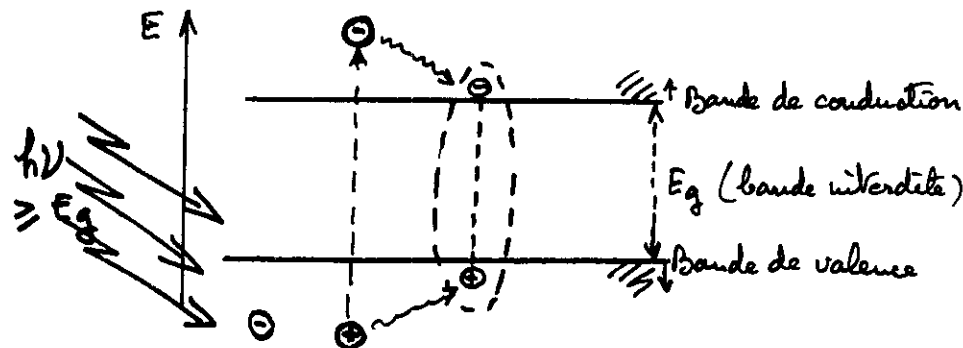
Le générateur photovoltaïque peut s'adapter à la production diversifiée d'électricité dans une large gamme de puissances. De quelques dizaines de watts crête à plusieurs mégawatts, de la production décentralisée d'électricité de nombreux systèmes disséminés à la centrale de puissance centralisée, tous les projets deviennent progressivement réalité !

Si la filière Silicium monocristallin est encore la seule vraiment industrialisée, elle est en pleine mutation, quant à l'élaboration du matériau, par la fabrication de silicium semi cristallin, le tirage de rubans parallèlement à celui du lingot, la recherche d'un silicium de ferroto "solaire", que personne n'a encore parfaitement défini, mais aussi, quant à l'élaboration de la cellule, par l'utilisation de nouvelles méthodes de formation de la junction ou de mise en place des contacts.

De nouvelles filières, liées au critère généraux de choix des matériaux absorbants de rayonnement solaire (largeur de bande interdite E_g , absorbivité, aptitude au dopage, stabilité, disponibilité du matériau de base, coût du procédé de fabrication) se développent rapidement. Elles pourraient se différencier par un critère de type "rendement x stabilité / coût". Il s'agit essentiellement des structures photovoltaïques CdS/Cu₂S, CdS/CdTe et Silicium amorphe hydrogéné. Actuellement il est toujours très difficile de déterminer celle qui l'emportera à moyen ou long terme.

Après un bref rappel du principe de l'effet photovoltaïque dans un dispositif à base de semi conducteurs et présentant une hétérogénéité de dopage, nous distinguerons deux grands types de filières : les filières sans concentration et les filières avec concentration C ($100 < C < 2000$). Certains matériaux ou systèmes se révèlent plus compétitifs s'ils sont utilisés suivant cette dernière voie, par exemple lorsque le coût du matériau est très élevé (type arsenure de gallium) ou lorsque la conception du système exige une orientation permanente vers le soleil (cellules multicolores à miroir dichroïque).

**ROLE ABSORBEUR de PHOTONS
EMETTEUR de PAIRES $e^- - h^+$**

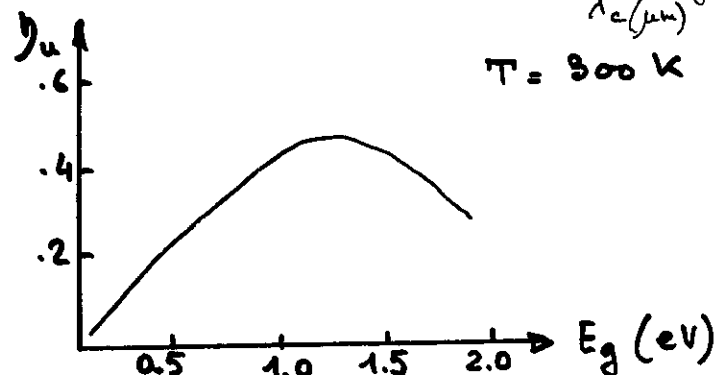


$$\eta_u = \frac{E_g \int_0^{E_g} \Phi_0(\lambda) d\lambda}{\int_0^{+\infty} \Phi_0(\lambda) \left(\frac{hc}{\lambda}\right) d\lambda} = \eta_u(E_g)$$

} Spectre solaire

$$\frac{hc}{\lambda_c (\mu\text{m})} = E_g (\text{eV})$$

$T = 300 \text{ K}$



Influence de E_g sur le rendement théorique

CAUSES d'abaissement du Rendement

PROCESSUS

- a) ABSORPTION DES PHOTONS INCIDENTS

PERTES par

Réflexion surface ①

Absorption inactive ②
des photons $h\nu < E_g$

Excès d'énergie
 $h\nu - E_g$ des photons ③

- b) COLLECTION des paires $e^- - h^+$

Recombinaison ④

Facteur de tension ⑤
 $\frac{qV_{CO}}{E_g}$

Facteur de courbe ⑥
 $F_c = \frac{J_m V_m}{J_{sc} V_{CO}}$

- c) Transfert de l'énergie au circuit électrique extérieur

Résistance série ⑦

6

**Fig. 1. Etapes de fabrication d'une cellule silicium monocristallin
(procédé industriel actuel, 1969)**

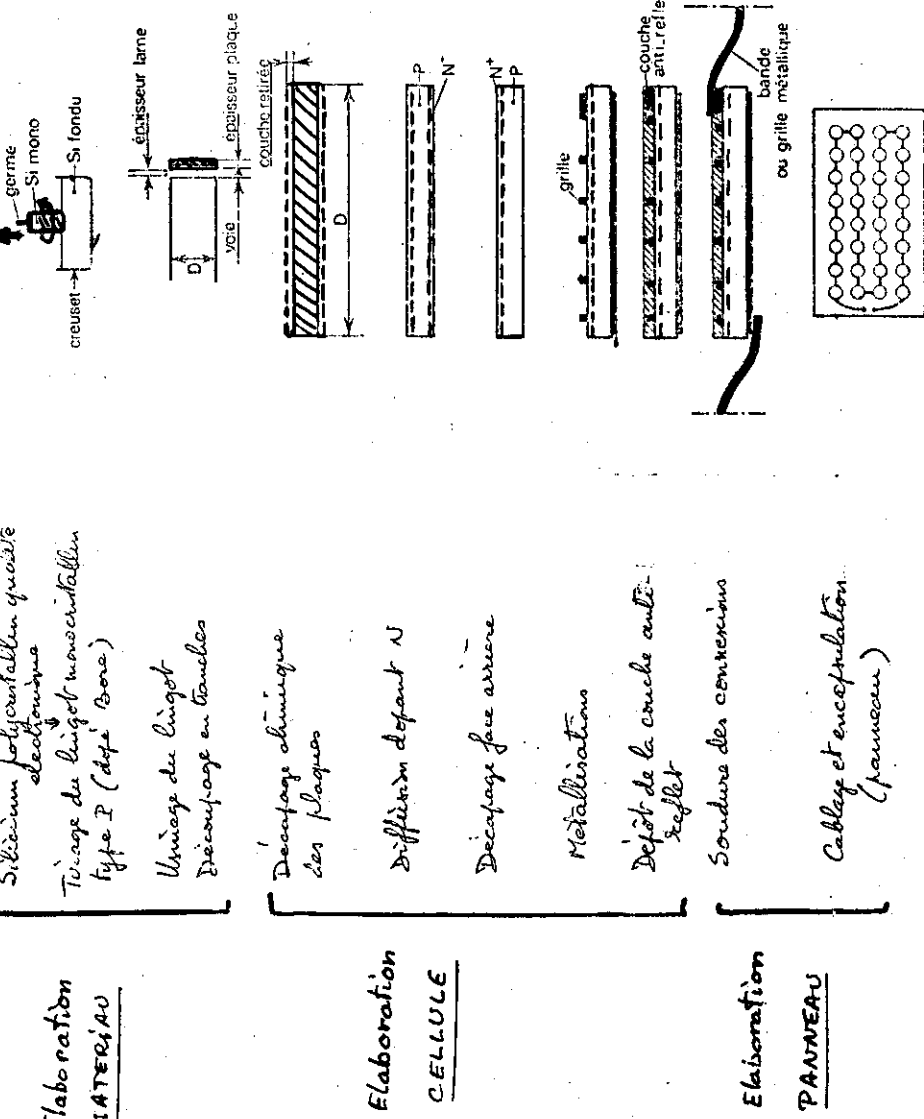


TABLEAU II

Propriétés à 300 K des matériaux pour photodiodes solaires.

Structure (1)	paramètre de réseau a (\AA) (1)	coefficient de dilatation 10^{-4} deg^{-1}	largeur de bande interdite E_g (eV)	affinité électronique (eV) (3)	conductivité ($\text{cm}^2 \cdot \text{V}^{-1} \cdot \text{s}^{-1}$)
Si	B	5,431	2,33	1,11 (1)	4,01 électrons trous 1 350 480
InP	BZ	5,869	4,6	1,27 (d)	4,38 4 500 100
GaAs	BZ	5,654	5,8	1,43 (d)	4,07 8 000 300
GaP	BZ	5,451	5,3	2,25 (1)	4,3 300 150
AlAs	BZ	5,661	6,2	2,15 (1)	280
CdTe	BZ	6,477		1,44 (d)	4,28 700 65
EdSe	H	4,3	4,8	1,7 (d)	4,95 600
ZnTe	BZ	6,103	8,2	2,26 (d)	3,5 130
ZnSe	BZ	5,667	7,0	2,67 (d)	4,09 630
CdS	H	4,14	4,0	2,42 (d)	4,5 340
Cu ₂ S	Ch	(1)		1,21	4,25 24
CdSiAs ₂	C	5,884 (1,849)		1,66 (d)	500
ZnSiP ₂	C	5,400 (1,933)		2,2 (d)	100
CuInSe ₂	C	5,78 (2,00)		1,0 (d)	320 10
CuGaSe ₂	C	5,61 (1,98)		1,7 (d)	20
CuInS ₂	C	5,52 (2,00)		1,5 (d)	200 15
GaSe	L			1,97 (1)	

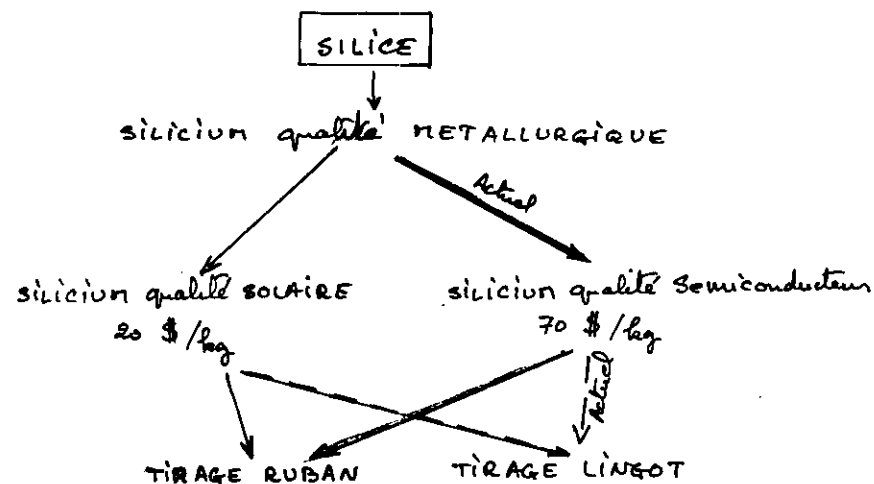
(1) D = diamant, BZ = blonde de zinc, L = structure lamellaire

H = hexagonal (le paramètre à comparer avec celui des cristaux blonde de zinc pour l'épaisseur sur plan (111) est $a/\sqrt{2}$).

Ch = chalcocite orthorhombique : $a = 11,66$, $b = 27,32$, $c = 12,48$.

C = chalcopyrite (on donne entre parenthèses le rapport c/a).

Fig. 2 Elaboration du matériau Silicium Nouvelles approches



→ Au niveau de l'élaboration des matériaux :

La réduction du coût de fabrication des cellules Silicium passe par :

- l'utilisation d'un silicium polycristallin de pureté solaire
 - le tirage direct de ruban

TABLEAU I

④ Les filières sans concentration

I. La FILIERE silicium

I.1 Block massif de Silicium

- #### • monocrystalline

tirage Czochralski → cylindre
croissance H.E.T. → parallèle.

- ### Semi-crystalline

moulage de monocristal (SCORIX) { 12 à 16% (labo)
 10% (panneau)
 lingot Si polycr. qualité solaire (SCAREX) → 8% (panneau)
 cellule 10 x 15 cm²

I.2. Products flats

1.2.1. Sub-superficies

- rubans (Nobleg Tyco) → monosaccharide

6 à 10% 250 Jours
vit. de croissance 5 cm/mois

- ruban dendritique (WEB) : mono.
Westinghouse
j'arrive à l'Hydrogène

13,5% 200 µm
vibr. de croissance: 3 cm/m

1.2.2. Supports

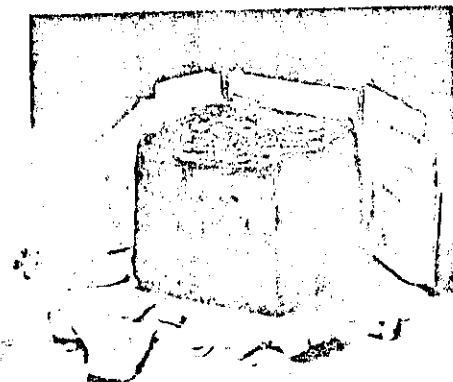
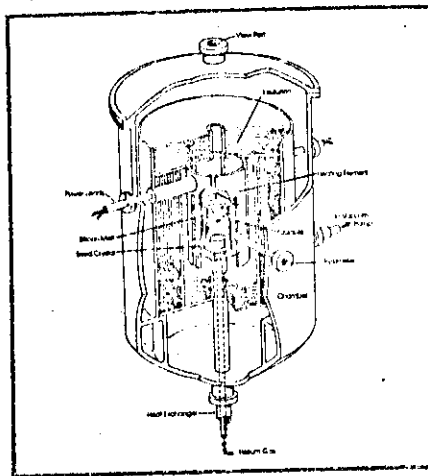
- ruban de Si sur ruban de C par capillarité (LEP)

6 à 7% 300 ans
10% (décollé de c)

- ruban de Si sur molybdène par CVD. Recristallisation laser (\approx monocr.)

Fig. 3a

Elaboration de Silicium multicristallin par la méthode HEM (heat exchanger method)



Sciage au diamant →

Lamas de env 100 μm

(parte 170 μm)

Licqot de 50 kg, $S = 32 \text{ cm}^2$

(Grains cristallins colonnaires orientés de grande dimension) :

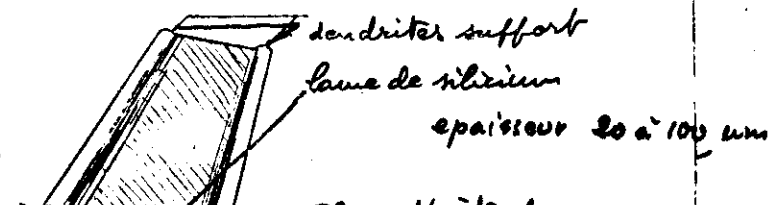
$$\Rightarrow h = 12,62 \text{ mm} \quad S = 45 \text{ cm}^2$$

Fig. 3 b

Products flats

- ### • auto-reports

a) Croissance dendritique



Vitens 1 a 4 cm/m²

Direction de tirage

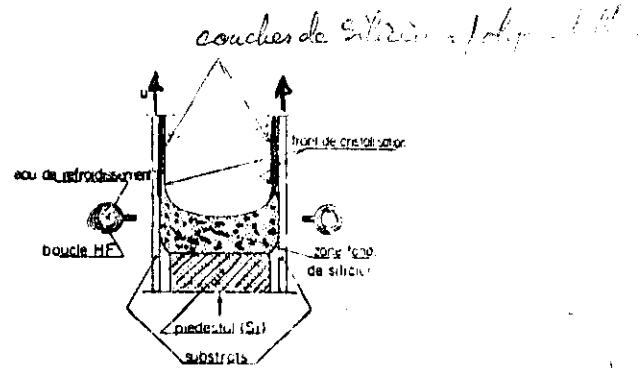
Lame de silicium monocristallin
($\approx 250 \mu\text{m}$)

Silicium liquide
($t > 1410^{\circ}\text{C}$)

→ capillaires de graphite (immobiles)

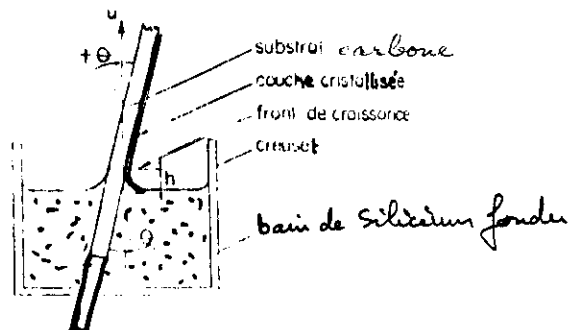
b) Tirage par action capillaire (I.B.M., Hobyl Tyco). Vitesse de tirage 5 cm/min

Fig. 3c Produits suffisants



1) Principe du tirage par action capillaire.

2) Principe de la méthode déte du retrait
(dépot par entraînement et cristallisation d'un film liquide)



(L.E.P.), vitesse de tirage
6 cm/min. e de 50 à 100 µm

11

12

Fig. 4 Elaboration cellule Silicium

Differentes voies (actuelle et de recherche)

Préparation chimique des plaques
(nettoyage, décapage)

Procédé Junction
Haute température

Procédé Junction
Basse Température

EVAPORATION

SERIGRAPHIE

DEPOT CHIMIQUE

Ti-Pd-Ag

Al

COUCHE ANTIREFLET

Réalisations nouvelles :

- Si mono. CZ + evap. Hn. Si + laser YAG + EVAP. $\Rightarrow \delta = 14\%$
- Si mono. CZ + IMP. ION. + Laser + EVAP. $\Rightarrow \delta = 16\%$
- Si mono CZ + Phosphore diffusion source forte + contact et antireflet par serigraphie $\Rightarrow \delta = 12,5\%$

13

⑥ Matériaux alternatifs

Couches minces

- $\text{CdS} / \text{Cu}_2\text{S}$ - évaporation thermique
10 % (labo) 10 % (panneau NUKEM)
- $\text{Cd}_{2n}\text{S} / \text{Cu}_2\text{S}$ - induction chimique
7 % (labo) 7,5 % (panneau) !!

a Si + H - décomposition plasma du SiH₄

on de SiH₄ + CH₄ → Doseage par B₂H₆
Doseage en par Pt/H₃

Meilleures réalisations actuelles (1984)

• Heterojunction a-SiC:H/a-Si:H 9,39 % 9,39 %
temp de pluie : 0,644 cm² 0,644 cm²

8,25 % sur 10 x 10 cm²

• Cellule bicolore

a-Si / poly-Si

• Heterojunction a-Si//n-Si/p-SiGe, Si//Al

$$E_g(a-Si) = 1,75 \text{ eV} \quad E_g(p-Si) = 1,1 \text{ eV}$$

N.B. : épaisseur totale
cellule : 0,6 µm
 $= \frac{1}{500}$ de celle
d'une cellule en
Si monocristallin
temp de pluie : de 200 à 300 °C

13

Rendement

22 mA/cm ²	{
0,58 V	{
0,71	}

8,2 % (panneau NUKEM)	{
S = 4,2 cm ²	}

14 Fabrication de CdS par réaction d'échange d'ions



- voie sèche : évaporation thermique CuCl + recuit à 200°C
- voie humide : trempage dans solution acide de CuCl à 90°C

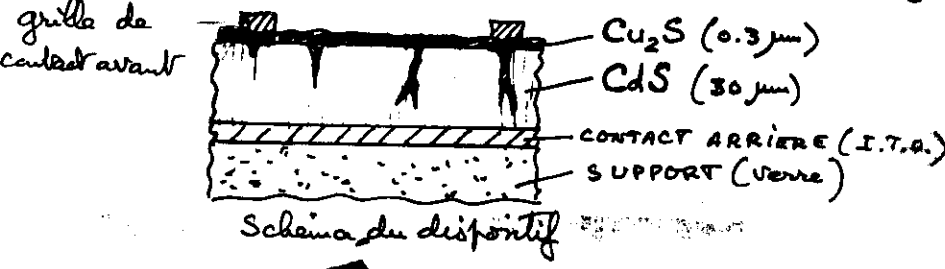


Schéma du dispositif

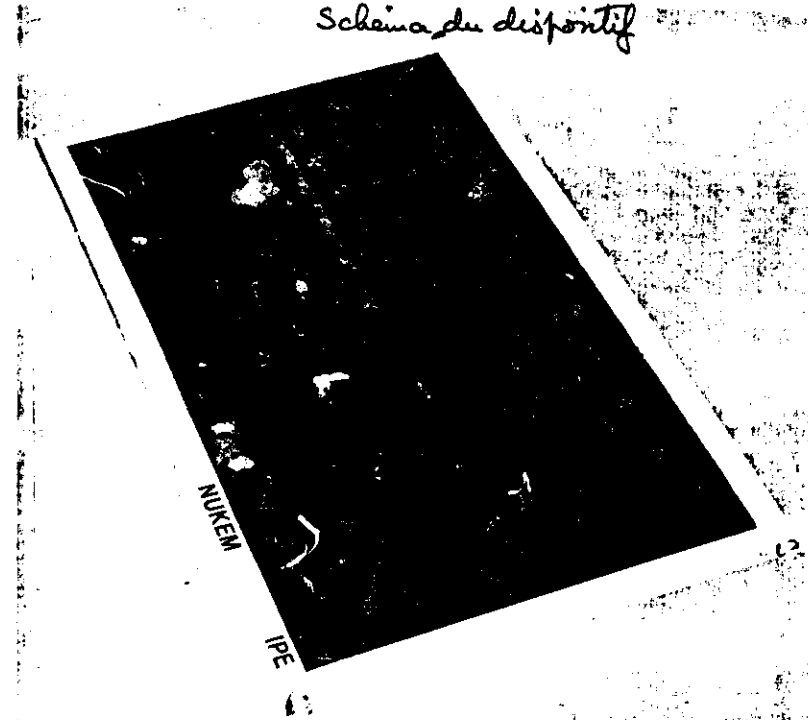


Fig. 5 Panneau CdS/Cu₂S obtenu à partir de CdS évaporé thermiquement. (NUKEON)

15

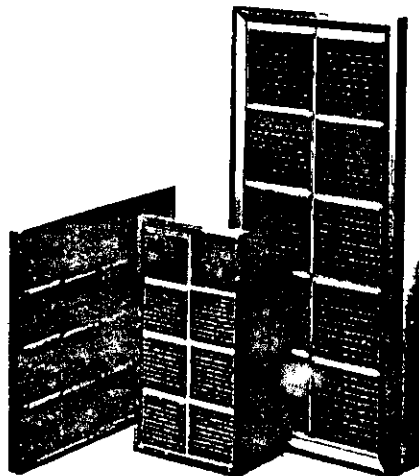


Fig. 6

Modules de cellules solaires
CdS/Cu₂S

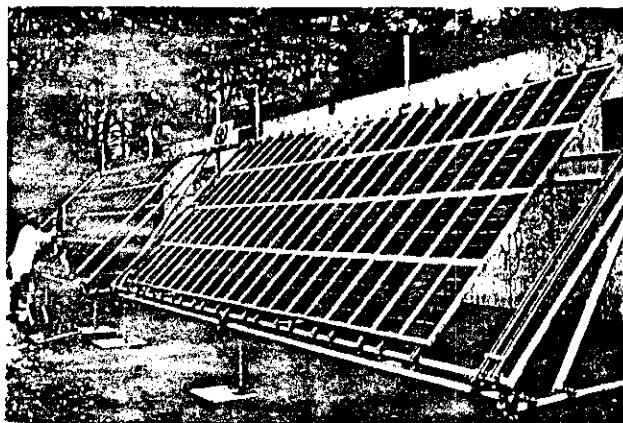
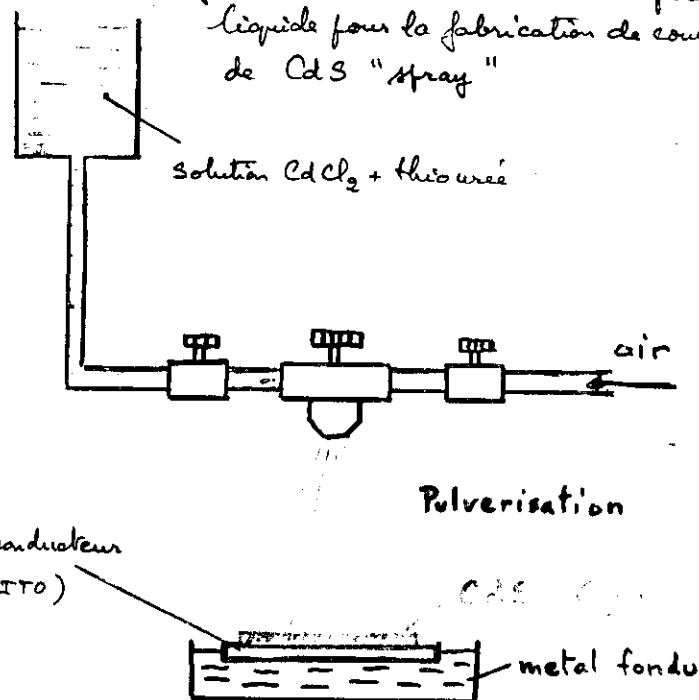


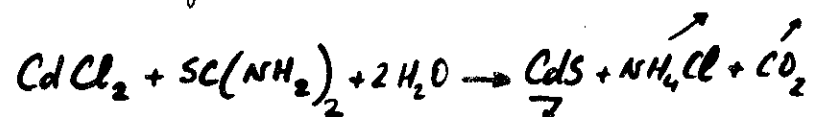
Fig. 7 Générateur à base de cellules solaires CdS/Cu₂S
évacuées de 500 watts crête (Nuken, HANAU, RFA)

16

Fig. 8 : Dispositif de pulvérisation réactive en phase liquide pour la fabrication de couches de CdS "spray"



Réaction chimique :



$T_{\text{support}} \approx 400^\circ\text{C}$

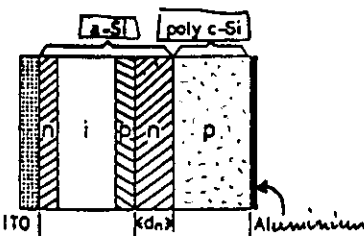
$\text{Cd}^{++}/\text{S}^- \approx 1$

Fig. 9

17

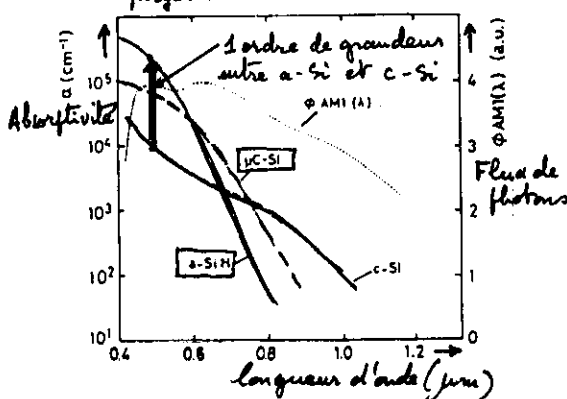
Cellule "TANDER" α -Si — α -Si-polyc.Si
(bicolore)

formation continue de (2)
couche n et p de
 α -Si

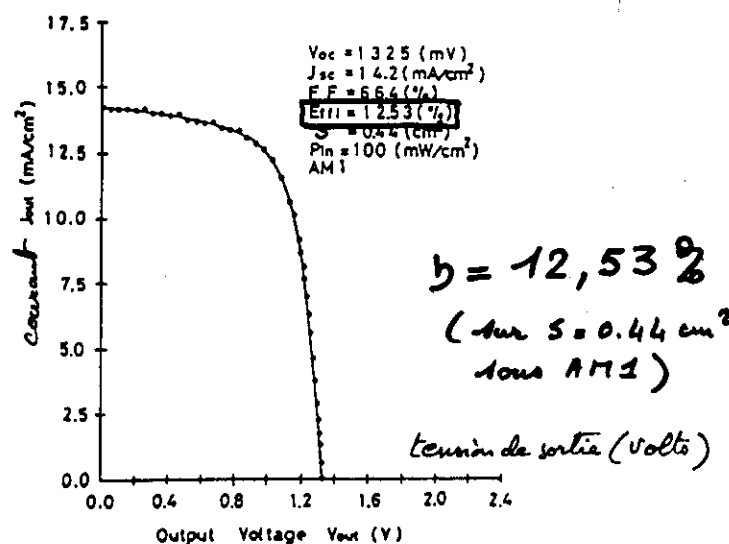
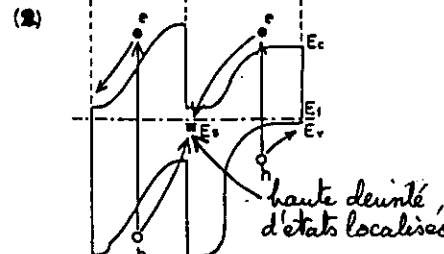


a) Absorptivité des matériaux

α -Si monocr. Si
polyc. Si



b) Structure de la cellule
et diagramme d'énergie



c) Caractéristique courant-tension de la cellule

18

Rendement %

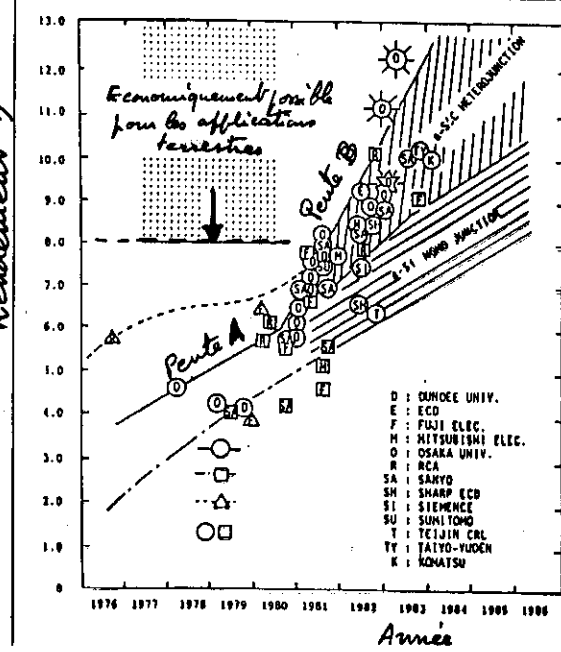


Fig. 10 Evolution du rendement de certains des cellules au Silicium amorphe []

→ accélération de l'↑ de η autour de 1980 - 1987 correspond à l'élaboration d'hétérojunctions avec α -SiC:H et α -SiGe:H

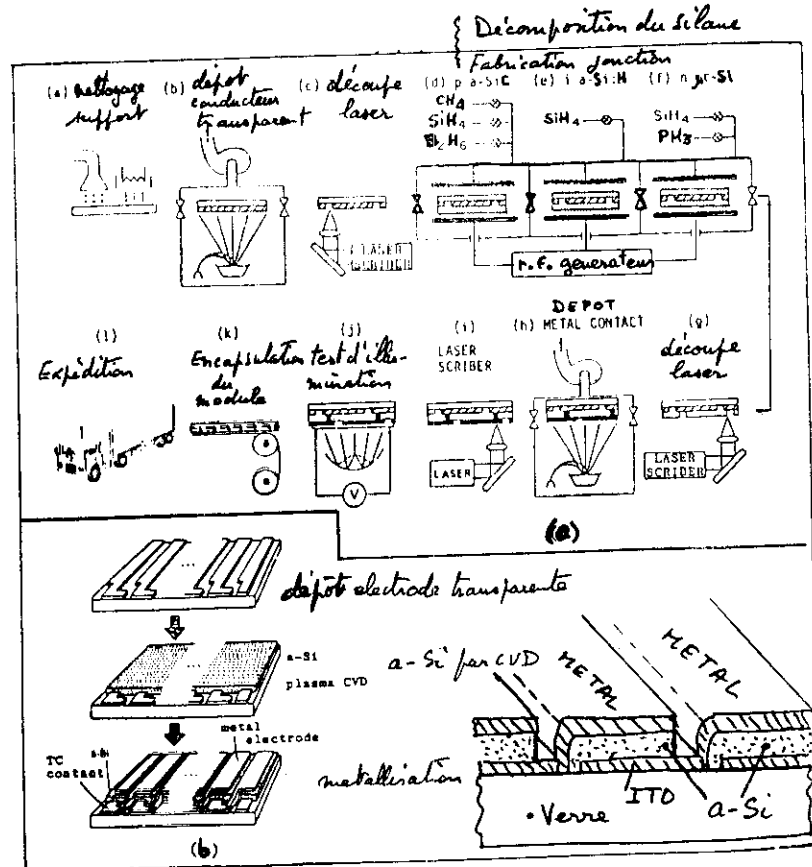


Fig. 11 Chaine de production de masse de cellules solaires au Silicium amorphe [HAMA KAWA, 1983]

(a) chaîne de fabrication de panneaux de cellules a-SiC-a-Si (hétérojonction)

(b) Technologie intégrée : localisation des cellules et interconnection (techno. circuits intégrés avec huage)

Fig. 12 Applications des cellules solaires au a-Si (1983)

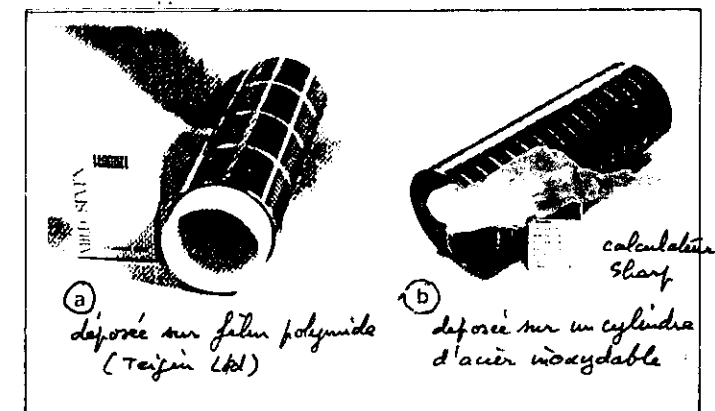
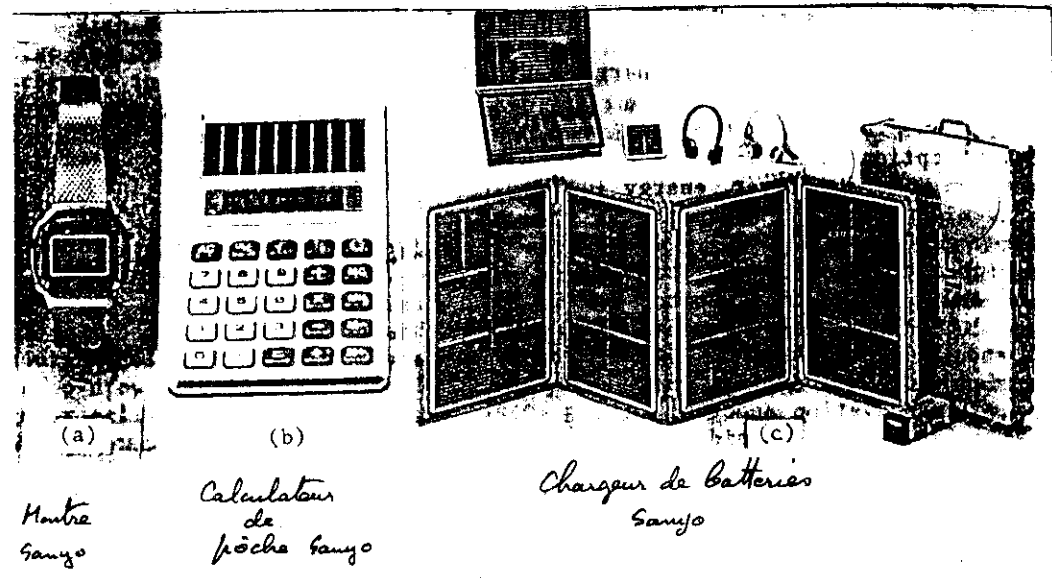


Fig. 13 Cellules solaires flexibles au a-Si
(Octobre 1983)

21

$$\begin{array}{ll} \text{CdTe} & 1,44 \text{ eV} \\ \text{CdS} & 2,40 \text{ eV} \end{array}$$

Filière CdS/CdTe

Plus haut rendement à ce jour (début 1984) d'une structure couches minces

verre - p CdTe film ($5\text{-}10 \mu\text{m}$) - n CdS film ($25 \mu\text{m}$)

$$\left. \begin{array}{l} \{\text{(Ag + In)} = \text{electrode } \ominus \\ \{\text{grille Ag + electrode C avec Cu)} = \text{electrode } \oplus \end{array} \right\}$$

sur $0,78 \text{ cm}^2$, sous éclairement $A = 1,5 \text{ - } 100 \text{ mw.cm}^{-2}$

$$\left. \begin{array}{l} V_{oc} = 0,753 \text{ Volts} \\ I_{sc} = 27,8 \text{ mA/cm}^2 \\ FF = 0,606 \end{array} \right\} \eta = 12,78 \%$$

sur module de $30 \times 30 \text{ cm}^2$

$$V_{oc} = 20,6 \text{ volts} \quad \eta = 8,5 \%$$

Très bonne stabilité

Autres filières de recherche :

à partir des matériaux ABSORBEURS :	CuInSe ₂	$E_g = 1,0 \text{ eV}$ (d)
	InP	$E_g = 1,27 \text{ eV}$ (d)
	CdSe	$E_g = 1,7 \text{ eV}$ (d)



Fig. 14 Vue d'un fourneau de cellules CdS/CdTe
 $S = 30 \times 30 \text{ cm}^2$

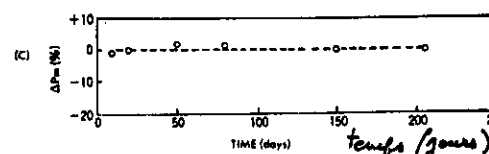
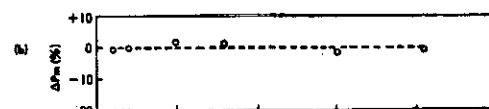
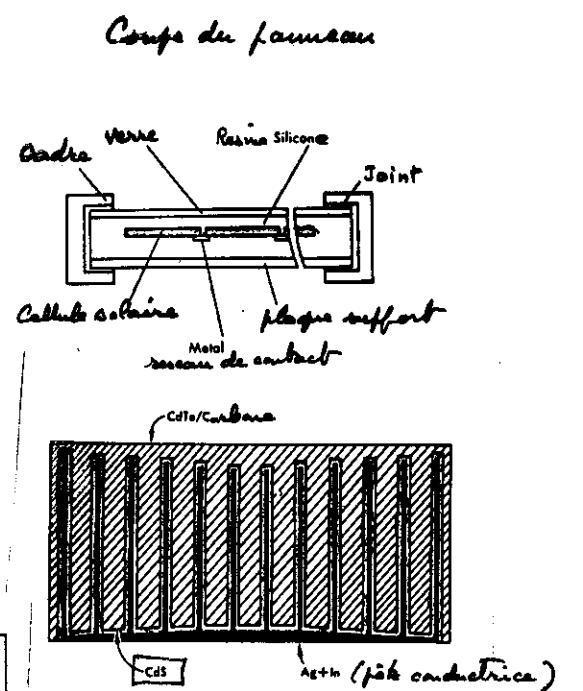


Fig. 15 Stabilité des cellules dans le temps. CdS/CdTe

- (a) en circuit ouvert
- (b) en court-circuit
- (c) au point de puissance maximale

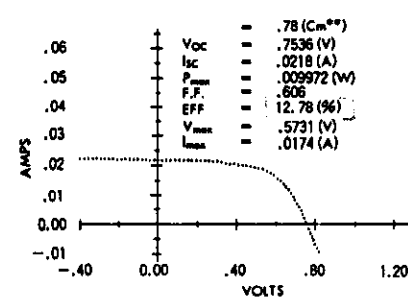


Fig. 16 Caractéristique I-V de la cellule CdS/CdTe.

TABLEAU IV

Filieres sous concentration (raffinerie concentration *)

2.1. Silicium monocristallin

Motacilla flava (Gmelin 1789) (see this species, *grisea*, under)

- $P^+ N$ $25 < x < 100$ 16%
 - $P^+ N N^+$ $50 < x < 200$ 18%
 - Cellules multifonction non dioptriques face Al $x = 30$ 18%
 - Absenture de Gallium monocristallin et couches minces effilées sur (N^+) GaAs $E_g = 1.43 \text{ eV}$ et 7, obtenu à $\approx 200^\circ\text{C}$. Feuille (P^+) $Al_{x}Ga_{1-x}As$ $500 \leq x \leq 2000$ 25%

2. 3. Cellules multifectoriales

- Avec mince dichroïque

GraAlAl / Si	$500 < x < 2000$	$x = 165$	\rightarrow	31 % théorie
				26,5 % expérimental
Cellule multicolore (ou "air en cell")				
épaisseur x_1 , épaisseur x_2 .				
Bicolor	$x = 1000$			44 % théorie
Tricolor	$x = 1000$			50 % théorie

23

21

Fig. 17 : Types de structures multicolores

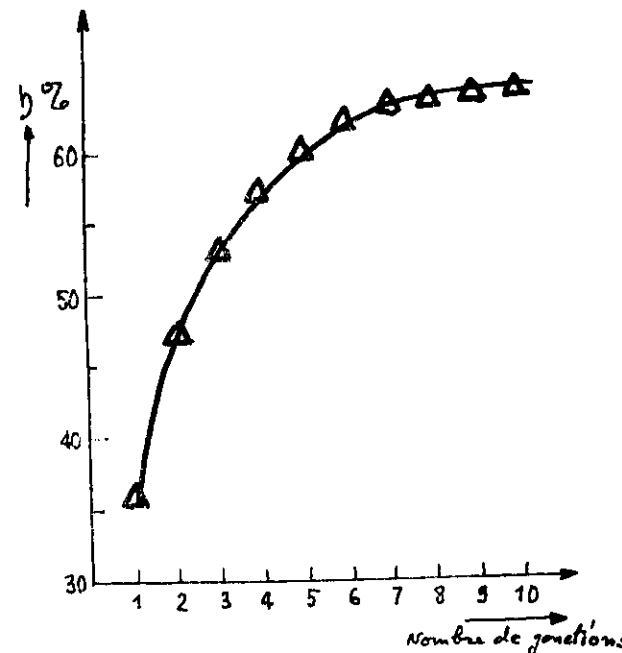
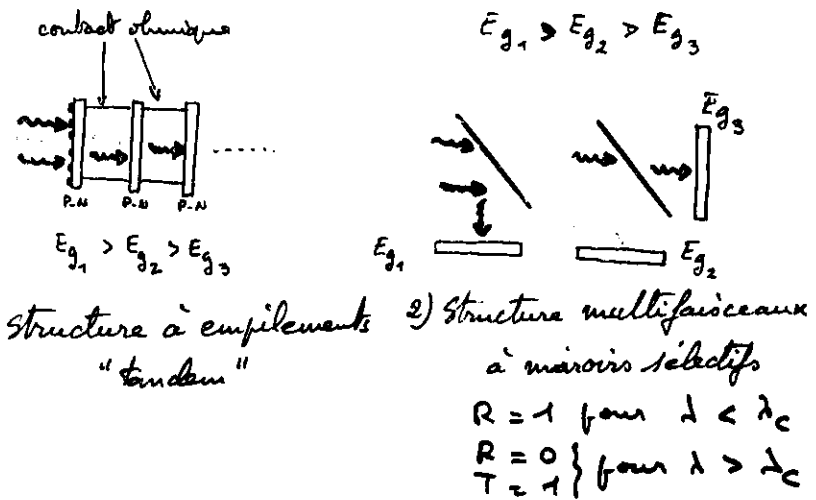
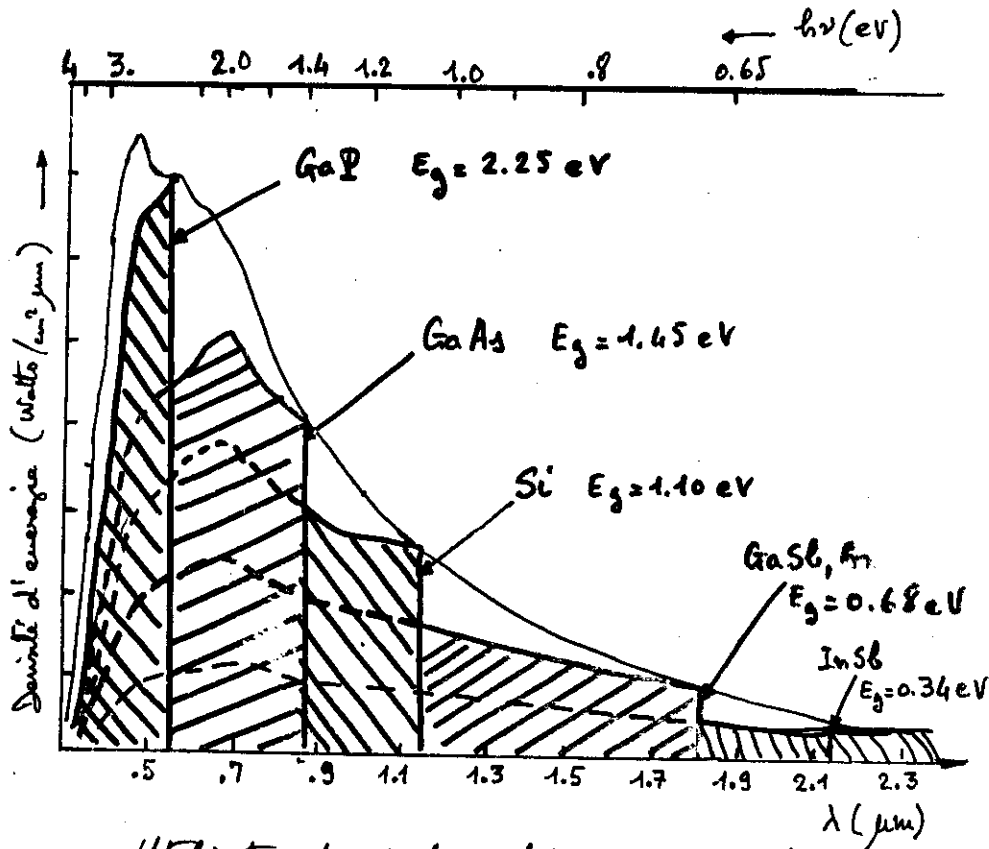


Fig. 18: Rendement théorique des photofiles "Arc en ciel"
Concentration 1000 AM 1,5

Fig. 19



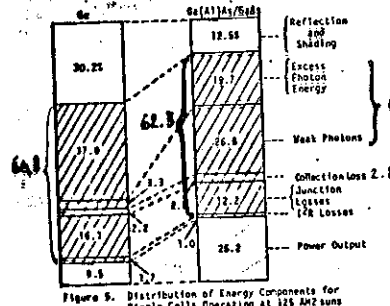
Utilisation du spectre solaire par une cellule suivant la E_g du semi-conducteur absorbeur

Fig. 20

Structure à cellules multiples et miroirs selectifs

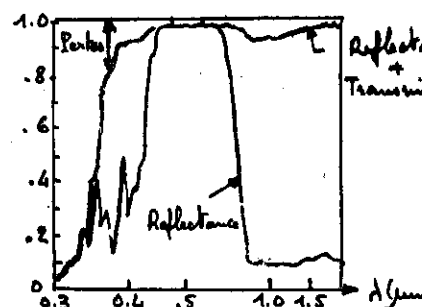
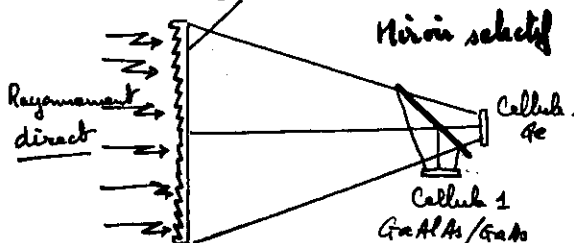
① Modélisation

1.1 Cellules simples



② Dispersion

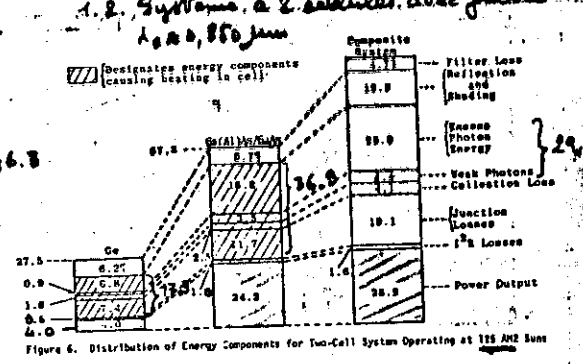
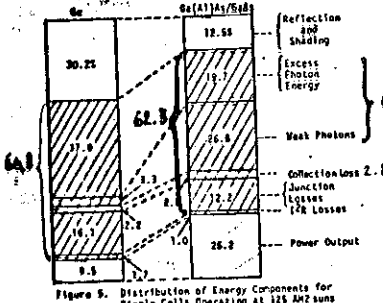
Concentrateur



Courbes typiques d'un miroir sélectif

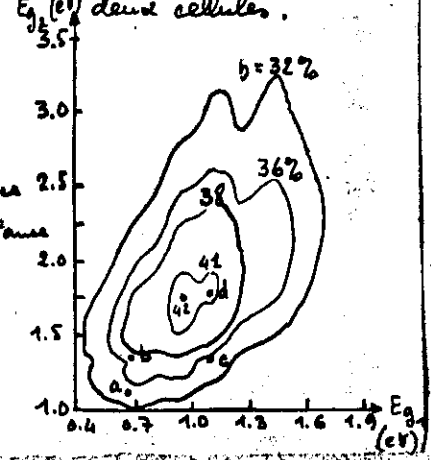
③ Système à 2 cellules avec filtre

1.2 Système à 2 cellules avec filtre



④ Rendement photovoltaïque

Distribution spectrale par miroir filtrant dans un dispositif à deux cellules.



- a. Si - Ge 34%
- b. GaAs - Ge 37%
- c. GaAs - Si 35%
- d. Zn - Si 41%

Bibliographie

1. Fifth E.C. Photovoltaic Solar Energy Conference,
Proceedings, Kouvola (Finland), 17-21 Oct. 1983,
D. Reidel Pub. Cie -
2. III^e Séminaire sur l'Energie solaire, TRIESTE (Italie)
6-17 Sept. 1982, H. Cadene Rue., USTL, Montpellier
(France).

